

Buffered P-persistent CSMA/CD 성능해석

°채 수 훈\*

이 형 재\*\*

\*,\*\* 한국항공대학 전자공학과

Performance of buffered P-persistent CSMA/CD

Goo Hoon Chae\*

Hyuna Jae Lee\*\*

\*,\*\* Dept. of Avionics Eng., Hankuk Aviation College

ABSTRACT : In this study, we analyze approximately a finite number of buffered users, and analytic tool is the equilibrium point analysis(EPA). EPA is applicable to complex system as easily as other analysis. It formulates a Markovian model and give solution to the stability problem, but does not solve completely. The model presented in this paper is buffered slotted P-persistent CSMA/CD. We solve its performance and stability problem.

1. 서 론

LAN의 통신 프로토콜은 CSMA/CD 방식과 Token Ring 방식을 중심으로 발전하였다. CSMA/CD 프로토콜은 BUS형 LAN에 적합한 경쟁형 프로토콜이다. 대부분의 연구는 각 단말이 한개의 패킷을 전송완료하기 전에는 다음의 패킷을 발생하지 않는다는 가정하에 연구되었다. 그러나 실제에는 각 단말은 복수 패킷분의 버퍼를 가지는 경우가 많다. 그러므로 버퍼를 고려하여 실제 시스템에 가까운 성능평가를 하여야할 필요성을 가진다. CSMA/CD 방식에는 [4]에서 제안한 바와 같이 통신 프로토콜은 1, non-P-persistent CSMA/CD의 세가지 종류로 나뉜다. [1]은 각 단말이 무한히 큰 패킷버퍼를 갖는 P-persistent CSMA에 대하여 해석을 하였으나, 시스템 안정성 문제를 검토하지 않았으며, [2], [3]은 각각 non-persistent CSMA/CD와 1-persistent CSMA/CD에 대하여 해석을 하였다. 본 논문은 유한 복수개의 패킷을 가지는 buffered P-persistent CSMA/CD 방

식에 대해 해석을 한다. [4]에서 제안한 여러 프로토콜 중에서 P-persistent 방식은 채널을 감지하여 채널이 idle 상태이면 확률 P로 전송을 하고 1-P이면 전송이 다음 슬롯으로 미루어져 다음 슬롯시간에 채널이 비면 확률 P로 전송하고 채널이 사용중이면 채널이 빈때까지 기다리는 절차를 따른다. 채널획득 시점에서 버퍼내에 있는 모든 패킷을 한번에 전송하는 p-persistent 방식과 한번에 먼저 도착한 한개의 패킷만을 전송하는 제한식으로 나뉜다. 본 논문에서는 제한식으로 해석을 하였으며, 해석방법은 평형점 해석방식을 사용하였다. 이의 원리와 적용법은 [5], [2], [3]에 나타나 있으며 본 논문에서도 이에 따라 해석을 한다. 마지막으로 안정점이 이루어지는 부하와 그때의 패킷 처리량과 평균 지연시간을 구한다.

2. 모 델

다음과 같은 가정하에 버퍼가 있는 제한식 slotted P-persistent CSMA/CD 방식을 해석한다.

- (1) 임의의 두개의 전송지연은 7초로 일정하다.

- (2) 채널은 길이  $T$ 초의 슬롯으로 분할되어 있다.
- (3) 패킷은 패킷충돌에 의해서만 내용이 바뀐다고 한다.
- (4) 패킷 길이는 일정하여 패킷전송시간은  $T$ 의 정수배인  $T$ 초라 한다.  $H=T\tau_c=1/\alpha$  (1)
- (5)  $M$ 개의 단말을 가지며 버퍼는  $J$ 개의 패킷을 축적할 수 있다.
- (6) 패킷은 슬롯의 종료시점에 확률  $\sigma$  ( $\sigma < 1$ )로 발생한다. 발생은 버퍼내에 여유가 있으면 선착순으로 버퍼내에서 대기한다. 버퍼가 비어 있어도 패킷의 전송이 즉시 행해지지 않고 불규칙하게 기다리는 Delayed First Transmission 방법을 사용한다. 버퍼가 완전히 차있을 때 발생하는 패킷은 버려진다.
- (7) 한번에 하나의 패킷만 전송한다.
- (8) 패킷의 전송에 실패한 경우 송신을 개시한 것으로부터  $K$ 슬롯 후에 충돌에 포함된 모든 단말은 송신을 중지한다. ( $K=1$ 로 하면 CSMA/CD,  $K=H$ 로하면 CSMA)
- (9) 한개의 성공전송시간과 실패전송시간에 확률  $\alpha, \lambda$ 에 한개의 패킷이 전송시간이 종료한 순간에 있는 것으로 한다.

$$\alpha = (H + 1)\sigma \quad (2)$$

$$\lambda = (K + 1)\sigma \quad (3)$$

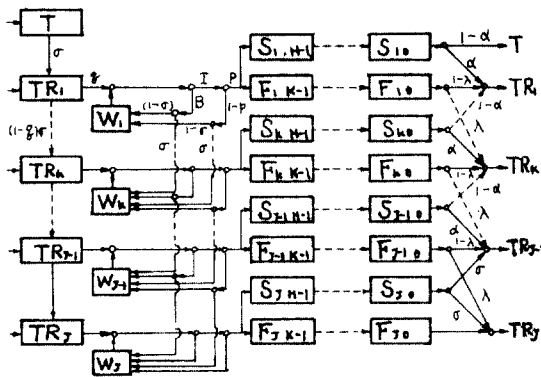


그림1. Slotted P-persistent CSMA/CD 시스템의 근사모델

An approximate of a slotted P-persistent CSMA/CD system.

이러한 가정하에 그림1과 근사한 모델이 얻어진다. 각 단말은 그림1.의 어느 한 모드중에 있다. T모드는 패킷을

하나도 가지지 않은 경우이며,  $TR_k$ 모드는  $k$ 개의 패킷,  $TR_j$ 모드는 버퍼가 꽉 찬 경우이다.  $TR_k$ 모드에 있는 단말이 새 패킷을 발생하면  $TR_{k+1}$ 모드로, 전송에 성공하면  $TR_{k-1}$ 모드로 전이하게 된다.  $w_k$ 모드는 채널을 감지하여 busy로 감출되면 idle이 되기까지 기다리며, 또한 idle경우 확률  $1-P$ 로 다음 슬롯은 감지하기 위해 기다리는 모드이다.  $w_k$ 에 있는 단말은 채널을 감지하여 busy, 또는  $1-P$ 일 경우 새로운 패킷이 발생하면  $w_{k+1}$ 모드로 아니면  $w_k$ 모드에 머무른다. 채널을 감지한 후 확률  $P$ 에 들면 패킷을 전송하여 성공하면  $s_{k,H-1}$ 모드로, 실패하면  $f_{k,k-1}$ 모드로 전이 한다.

### 3. 평형점 해석

$TR_k, w_k, s_{k,i}, f_{k,j}$  ( $1 \leq k \leq J, 0 \leq i \leq H-1, 0 \leq j \leq K-1$ ) 모드에 있는 단말의 수를 각각  $n_k, l_k, m_{ki}, \chi_{kj}$ 로 한다. 상태벡터  $\mathcal{N} = (n_k, l_k, m_{ki}, \chi_{kj})$ 는 유한 Markov chain 이다. 상태벡터  $\mathcal{N}$ 은 다차원 이므로 정상확률분포를 구하기 곤란하므로 평형점해석 방법을 이용하여 근사적으로 해석한다. 각 모드에서는 평형점에 있어 유입하는 단말수와 유출하는 단말수가 같다고 하면 다음 식들이 성립한다.

$$\begin{aligned} & \left\{ M - \sum_{k=1}^J (n_k + l_k + \sum_{i=0}^{H-1} m_{ki} + \sum_{j=0}^{K-1} \chi_{kj}) \right\} \sigma = (1-\alpha) m_{10} \quad (4) \\ & n_k \sigma + n_k (1-\sigma) \sigma = n_{k-1} (1-\sigma) \sigma + \lambda \chi_{k-1,0} \\ & \quad + \alpha m_{k0} + (1-\lambda) \chi_{k0} + (1-\alpha) m_{k+1,0} \quad (2 \leq k \leq J-2) \\ & n_{J-1} \sigma + n_{J-1} (1-\sigma) \sigma = n_{J-2} (1-\sigma) \sigma + \lambda \chi_{J-2,0} \\ & \quad + \alpha m_{J-1,0} + (1-\lambda) \chi_{J-1,0} + (1-\alpha) m_{J,0} \\ & n_{T\sigma} = n_{T-1} (1-\sigma) \sigma + \lambda \chi_{T-1,0} + \sigma m_{T0} + \chi_{J0} \\ & l_k = (1-\sigma) \{ 1 - P P_E(\pi) \} (l_k + n_k \sigma) \\ & \quad + \sigma \{ 1 - P P_E(\pi) \} (l_k + n_{k-1} \sigma) \\ & l_J = \{ 1 - P P_E(\pi) \} (l_J + n_J \sigma) + \sigma \{ 1 - P P_E(\pi) \} (l_{J+1} + n_{J+1} \sigma) \\ & m_{k0} = m_{k1} = \dots = m_{k,H-1} = P s_{k,H-1}(\pi) \quad (1 \leq k \leq J) \\ & \chi_{k0} = \chi_{k1} = \dots = \chi_{k,K-1} = (n_k \sigma + l_k) P f_{k,K-1}(\pi) - P s_{k,K-1}(\pi) \\ & \quad (1 \leq k \leq J) \quad (5) \end{aligned}$$

$s_1, f_1$  은 각각 채널이 idle 직후에 전송성공할 조건부 확률과 실패할 조건부 확률,  $s_2, f_2$  는 성공전송시간 직후에 생길 조건부 확률,  $s_3, f_3$  는 실패전송시간 직후에 전송할 조건부 확률이다. ( $TR_k$ 모드를 출발하는 단말수는 평균  $n_k \sigma$  의 포아송 분포를 따른다)

$$G = \sum_{k=1}^J \pi_k \rho \quad (9)$$

$$S_1 = GPe^{-G\rho} \quad (10)$$

$$f_1 = 1 - e^{-G\rho} - S_1$$

$$S_2 = (H+1)GPe^{-(H+1)G\rho}$$

$$f_2 = 1 - e^{-(H+1)G\rho}$$

$$S_3 = (K+1)GPe^{-(K+1)G\rho}$$

$$f_3 = 1 - e^{-(K+1)G\rho} - S_3$$

$$P_H = \frac{f_1(1-S_2) + S_1 f_2 + S_1 f_1(H-K)}{[1+(K+1)f_1 - f_3]\{1+(H+1)S_1 - S_2\} - [(K+1)S_1 - S_3]\{(H+1)f_1 - f_2\}}$$

$$P_S = \frac{S_1 - P_H\{(K+1)S_1 - S_3\}}{1+(H+1)S_1 - S_2}$$

$$PI(ne) = 1 - HP_S(ne) - KP_H(ne) \quad (11)$$

여기서  $P_k(n)$ 은  $k$ 개의 패킷을 가진 단말이 전송에 성공할 확률,  $P_k(n)$ 은 실패할 확률,  $PI(n)$ 은 상태  $k$ 에서 채널이 idle이면 1, busy이면 0이 되는 함수이다.  $PI$ 는 슬롯의 개시시점에서 채널이 idle일 확률에 근사한다. 아래부터는  $ne$ 를 생략한다.

$$\pi_k = a_k \pi_1 \quad (1 \leq k \leq J) \quad (12)$$

$$b_k = b_k \pi_1 \quad (1 \leq k \leq J)$$

$$P_{sk} = c_k \pi_1 \quad (1 \leq k \leq J)$$

$$a_1 = 1$$

$$a_k = \frac{C_k/P - A \rho a_{k-1}}{B \rho} \quad (2 \leq k \leq J-1)$$

$$a_J = \frac{C_J/P - A \rho a_{J-1}}{(A+B)\rho}$$

$$b_1 = \frac{(1-\sigma)(1-P_{S1})\rho a_1}{1 - (1-\sigma)(1-P_{S1})}$$

$$b_k = \frac{(1-P_{S1})\rho(1-\sigma)\rho a_k + \sigma(b_{k-1} + \rho a_{k-1})}{1 - (1-\sigma)(1-P_{S1})} \quad (2 \leq k \leq J-1)$$

$$b_J = \frac{(1-P_{S1})\rho a_J + \sigma(b_{J-1} + \rho a_{J-1})}{P_{S1}}$$

$$C_1 = P_S B a_1$$

$$C_k = \frac{(1+K\rho P_{S1})\sigma a_{k-1} + (1+K\rho P_{S1})\sigma b_{k-1} - C_{k-1}(K+1)\sigma}{1 - \alpha} \quad (2 \leq k \leq J-1)$$

$$C_J = \frac{(1+K\rho P_{S1})\sigma a_{J-1} + (1+K\rho P_{S1})\sigma b_{J-1} - C_{J-1}(K+1)\sigma}{1 - \alpha}$$

$$A = (P_S - P_S - P_H)\sigma e^{-G\rho} + P_S \alpha (H+1)e^{-(H+1)G\rho} + P_H \lambda (K+1)e^{-(K+1)G\rho}$$

$$B = (P_S - P_S - P_H)(1-\sigma)e^{-G\rho} + P_S(1-\alpha)(H+1)e^{-(H+1)G\rho} + P_H(1-\lambda)(K+1)e^{-(K+1)G\rho}$$

$$\pi_1 = G / (P_S \sum_{k=1}^J a_k)$$

$$M\sigma = \sum_{k=1}^J P_{sk} = [\pi_1 \rho + \rho + K\{(\pi_1 \rho + \rho)P_{S1} - P_{S1}\} + P_{S1}(H-1)]\sigma \quad (13)$$

(10)에서

$$M\sigma = \sum_{k=1}^J P_{sk} \quad (14)$$

는 슬롯당 버퍼에서 overflow하는 평균 패킷수를 의미하며,

$$[\pi_1 \rho + \rho + \{(\pi_1 \rho + \rho)P_{S1} - P_{S1}\} + P_{S1}(H-1)]\sigma \quad (15)$$

는 버퍼가 포화상태인 단말이 발생하는 패킷의 평균 갯수이다.

(7)-(10)의 해의 성분은  $Y=e^{-G}$  ( $0 \leq Y \leq 1$ )이다.  $Y$ 를 변화시켜 (11), (12) 차가 충분히 작아 (10)이 성립하는 곳이 평형점이다. [6], [7]에 따라 해가 한개이면 시스템이 안정, 두개이면 불안정하며 세개이면 삼안정이다. throughput  $\sigma$ 는 한 패킷전송시간당 정확히 전송된 평균 패킷수이므로  $\sigma = HP_S$ 이다. 평균 패킷지연은 패킷이 발생하여서 그 패킷을 정확히 전송하고 끝마치기 까지의 평균시간이므로 Little의 공식에 의해  $D=1/\sigma$  (패킷전송시간)이다. 여기에서

$$I = \sum_{k=1}^J k Z_k$$

$$Z_k = \pi_k + \rho_k + K\{P_{S1}(\pi_k \rho + \rho) - P_{S1}\} + (H-1)P_{S1} + P_{S1} \quad (1 \leq k \leq J-1)$$

$$Z_J = \pi_J + \rho_J + K\{P_{S1}(\pi_J \rho + \rho) - P_{S1}\} + (H-1)P_{S1}$$

#### 4. 결론

일시적으로 많은 사용자가 전송을 원하는 경우를 고려하면 보충의 CSMA/CD의 사용환경 보다 크게 하여 검토하는 것이 바람직하므로  $M=100$ ,  $\sigma=0.00035$ ,  $\alpha=0.05$ ,  $K=1$ ,  $J=8$ 로 한다.

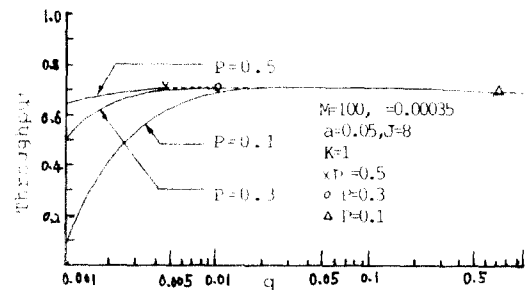


그림2. q에 대한 Throughput

Throughput versus q

그림2.은  $\rho$ 를 변화시킨 throughput이다. 표시는 각각  $p=0.5, 0.3, 0.1$ 일때 시스템이 안정하게 되는  $\rho$ 의 최대점이다. 그림3.은  $\rho$ 를 변화시켰을 때의 delay의

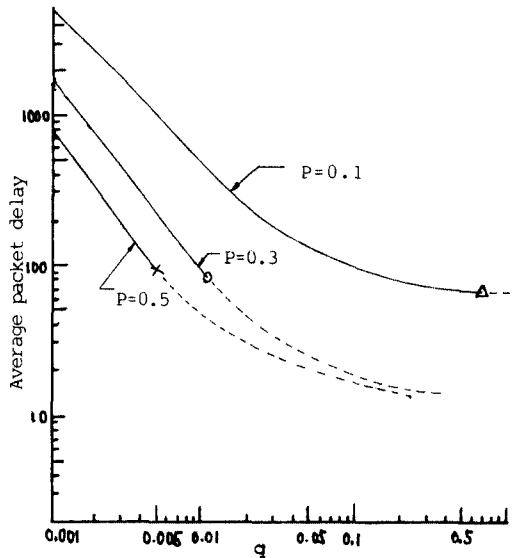


그림3. q에 대한 평균 패킷지연

Average packet delay versus q

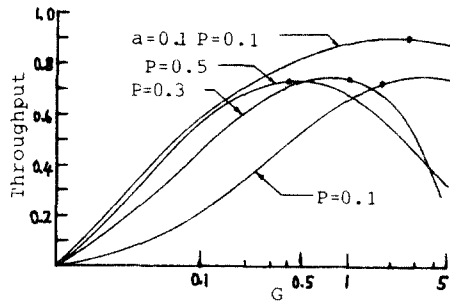


그림4. G에 대한 Throughput

Throughput versus G.

변화이다. 그림2, 3.에서 나타난 바와 같이 P가 작을수록 시스템이 안정한 상태에서  $\rho$ 를 크게 할 수 있어, delay가 최소가 되도록 한다. 그림4.에서는 불안정점이 나타나기 직전의  $\rho$ 를 사용하여 G를 변화시켰을 때의 throughput으로 표시(•)는 시스템이 안정하게 되는 G이다. 그림4.에서, 부하가 많을때는 P가 작을 경우, 부하가 적을 경우에는 P가 클때 안정적으로 throughput이 증가됨을 알 수 있다.  $p=0.1$ ,  $a=0.01$ 로 패킷의 길이가 길어지면 throughput이 증가한다. 패킷의 길이가 클

경우에는 throughput이 좋아짐을 알 수 있다. 부하(G)가 많은 경우에는 P를 작게하여 안정한 점에서 큰 throughput를 얻을 수 있다.

### 참고 문헌

- [1] J. Silvester, I. Lee, "Performance modeling of buffered CSMA-an interactive approach", Conf. Rec. GLOBECOM'82, pp. 1195-1199, Nov., 1982
- [2] S. Tasaka, H. Ishikawa, "Performance analysis of buffered CSMA/CD system", Trans. IECE, vol. J69-B, no. 3, pp. 217-227, March, 1986.
- [3] H. Ishikawa, S. Tasaka, "A performance comparison of packet transmission schemes in buffered CSMA/CD systems", Trans. IECE, vol. J69-B, no. 12, pp. 1665-1675, Dec., 1986.
- [4] L. Kleinrock, F. Tobasi, "Packet switching in radio channels: part 1-carrier sense multiple-access modes and their throughput-delay characteristics", IEEE Trans. on Commun., vol. Com-23, pp. 1460-1416, Dec., 1975.
- [5] A. Fukuda, S. Tasaka, "The equilibrium point analysis-A unified analytic tool for packet broadcast networks", Conf. Rec. GLOBECOM'83, pp. 1133-1140, Nov., 1983.
- [6] L. Kleinrock, S. G. Lam, "Packet switching in a multiaccess broadcast channel: Performance evaluation", IEEE trans. on Commun., vol. Com-23, no. 4, pp. 410-424, april, 1975.
- [7] L. Kleinrock, S. G. Lam, "Dynamic control schemes for a packet switched multi-access broadcast channel", In Nat. Comput. Conf., AFIPS Conf. Proc., vol. 44, Montvale, N. J.: AFIPS Press, pp. 143-153, 1975.